

Lektion 2: Sampling og Rekonstruktion

Signalbehandling

Christoffer Sloth

chsl@mmtmi.sdu.dk

SDU Robotics

The Maersk Mc-Kinney Moller Institute
University of Southern Denmark

SDU 

Agenda



Introduktion

Sampling

Impulssampling

Pulssampling

Rekonstruktion

Sekvenser

Opsummering



Datakonvertering og digital signalbehandling herunder:¹

- ▶ **ideel og praktisk sampling og rekonstruktion**
- ▶ **aliasing**
- ▶ kvantisering og dynamikområde
- ▶ konverteringsprincipper (A/D og D/A)
- ▶ **implementationsprincipper (Sample & Hold, A/D, D/A)**
- ▶ multirate sampling
- ▶ diskret-tid signaler og systemer i tids- og frekvensdomænet
- ▶ z -transformationen
- ▶ overføringsfunktion for lineære tidsinvariante systemer
- ▶ systemanalyse
- ▶ frekvensanalyse
- ▶ lineær fase systemer
- ▶ realisationsstrukturer for diskret-tid systemer
- ▶ hovedanvendelse af digital signalbehandling herunder digitale IIR-filtre og transformation af analoge filtre samt digitale FIR-filtre og vindues-funktioner

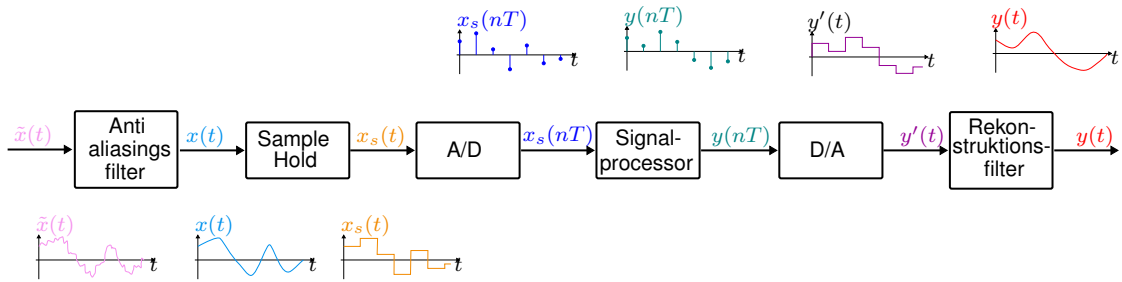
¹ Baseret på <https://odin.sdu.dk/sitecore/index.php?a=fagbesk&id=65003&listid=9093&lang=da>



- ▶ **Lektion 1:** Filterfunktioner
- ▶ **Lektion 2:** Sampling og rekonstruktion
- ▶ **Lektion 3:** Introduktion til z -transformation
- ▶ **Lektion 4:** Systemanalyse i z -domæne
- ▶ **Lektion 5:** Digitale realisationsstrukturer
- ▶ **Lektion 6:** Introduktion til IIR-filtre
- ▶ **Lektion 7:** Design af IIR-filtre
- ▶ **Lektion 8:** Introduktion til FIR-filtre
- ▶ **Lektion 9:** Design af FIR-filtre
- ▶ **Lektion 10:** Fast Fourier transformation (I)
- ▶ **Lektion 11:** Fast Fourier transformation (II)
- ▶ **Lektion 12:** Anvendelse af digital signalbehandling

Introduktion

Overblik over system



Sampling



Introduktion

Sampling

Impulssampling

Pulssampling

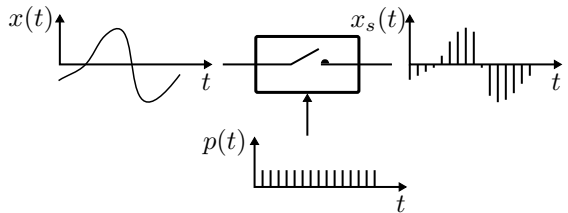
Rekonstruktion

Sekvenser

Opsummering

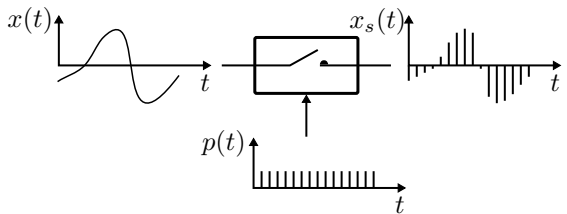


Indgangssignalet til sampleren er det tidskontinuerte signal $x(t)$, mens samplerens udgangssignal $x_s(t)$ er tidsdiskret (et periodisk pulstog). Samplekontakten styres af det pulsformede samplesignal $p(t)$.





Indgangssignalet til sampleren er det tidskontinuerte signal $x(t)$, mens samplerens udgangssignal $x_s(t)$ er tidsdiskret (et periodisk pulstog). Samplekontakten styres af det pulsformede samplesignal $p(t)$.



Sampleren karakteriseres ved dens **sampleinterval** T (tid imellem samples) eller **samplefrekvensen** givet som

$$f_s = \frac{1}{T} \quad [\text{Hz}]$$

Impulssampling



Introduktion

Sampling

 Impulssampling

 Pulssampling

Rekonstruktion

Sekvenser

Opsummering

Impulssampling

Princip



Ved impulssampling er samplesignalet $p(t)$ defineret som

$$p(t) = \sum_{n=-\infty}^{\infty} \delta(t - nT)$$

hvor T er sampleintervallet [s] og n er et heltal.

Impulssampling

Princip



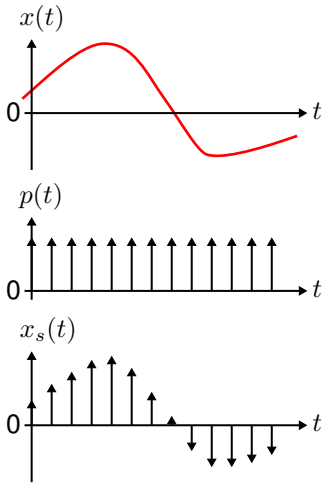
Ved impulssampling er samplesignalet $p(t)$ defineret som

$$p(t) = \sum_{n=-\infty}^{\infty} \delta(t - nT)$$

hvor T er sampleintervallet [s] og n er et heltal.

Det samplede signal $x_s(t)$ er dermed

$$x_s(t) = x(t) \cdot p(t) = x(t) \sum_{n=-\infty}^{\infty} \delta(t - nT)$$



Impulssampling

Princip



Ved impulssampling er samplesignalet $p(t)$ defineret som

$$p(t) = \sum_{n=-\infty}^{\infty} \delta(t - nT)$$

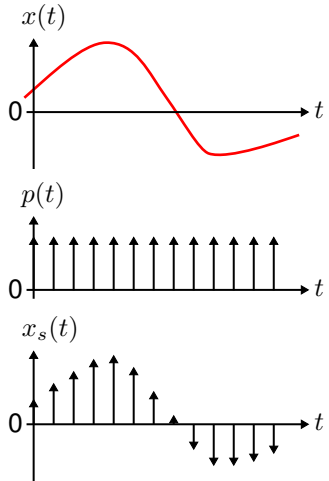
hvor T er sampleintervallet [s] og n er et heltal.

Det samplede signal $x_s(t)$ er dermed

$$x_s(t) = x(t) \cdot p(t) = x(t) \sum_{n=-\infty}^{\infty} \delta(t - nT)$$

Dette medfører at

$$x_s(t) = x(t) \cdot p(t) = \sum_{n=-\infty}^{\infty} x(nT) \delta(t - nT)$$





Samplesignalet $p(t)$ er periodisk med frekvens f_s , og kan dermed skrives som en uendelig kompleks Fourierrække

$$p(t) = \sum_{m=-\infty}^{\infty} c_m e^{j m \omega_s t}$$

hvor $\omega_s = 2\pi f_s$ [rad/s].



Samplesignalet $p(t)$ er periodisk med frekvens f_s , og kan dermed skrives som en uendelig kompleks Fourierrække

$$p(t) = \sum_{m=-\infty}^{\infty} c_m e^{j m \omega_s t}$$

hvor $\omega_s = 2\pi f_s$ [rad/s].

Samplesignalets Fourierkoefficienter er

$$c_m = \frac{1}{T}$$

Impulssampling

Frekvensanalyse (II)



Det impulssamplede signal $x_s(t)$ kan dermed skrives

$$x_s(t) = \frac{1}{T} \sum_{m=-\infty}^{\infty} x(t)e^{jm\omega_s t}$$

Impulssampling

Frekvensanalyse (II)



Det impulssampled signal $x_s(t)$ kan dermed skrives

$$x_s(t) = \frac{1}{T} \sum_{m=-\infty}^{\infty} x(t)e^{jm\omega_s t}$$

Det impulssampled signals spektrum bliver dermed

$$X_s(\omega) = \frac{1}{T} \sum_{m=-\infty}^{\infty} X(\omega - m\omega_s)$$



Det impulssampled signal $x_s(t)$ kan dermed skrives

$$x_s(t) = \frac{1}{T} \sum_{m=-\infty}^{\infty} x(t)e^{j m \omega_s t}$$

Det impulssampled signals spektrum bliver dermed

$$X_s(\omega) = \frac{1}{T} \sum_{m=-\infty}^{\infty} X(\omega - m\omega_s)$$

Dette spektrum kan også skrives

$$X_s(f) = \frac{1}{T} \sum_{m=-\infty}^{\infty} X(f - m f_s)$$

Impulssampling

Amplitudespektrum (I)



Det ses af det impulssampled signals spektrum

$$X_s(f) = \frac{1}{T} \sum_{m=-\infty}^{\infty} X(f - mf_s)$$

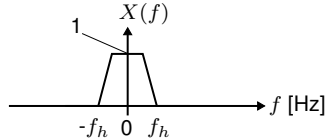
at det oprindelige spektrum $X(f)$ er gentaget uendelig mange gange med afstand f_s og at amplituden er skaleret med en faktor $1/T$.

Impulssampling

Amplitudespektrum (II)



Betragt følgende eksempel spektrum $X(f)$

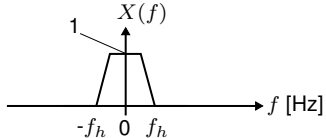


Impulssampling

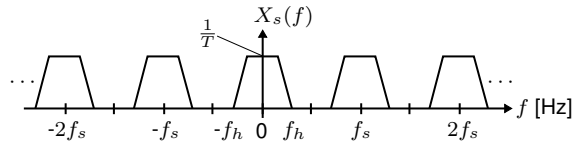
Amplitudespektrum (II)



Betragt følgende eksempel spektrum $X(f)$



Ved impulssampling fås følgende amplitude spektrum for det impulssamplede signal

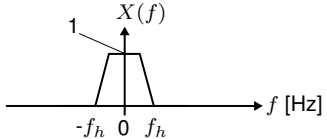


Impulssampling

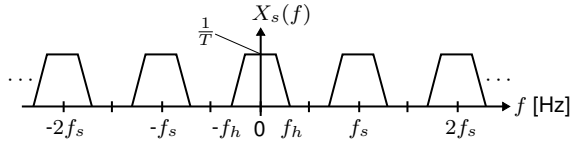
Amplitudespektrum (II)



Betragt følgende eksempel spektrum $X(f)$



Ved impulssampling fås følgende amplitude spektrum for det impulssamplede signal



Det ses at

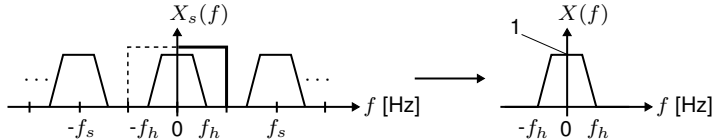
- Spektrum $X_s(f)$ er givet af $X(f)$ gentaget uendelig mange gange
- Amplituden af $X_s(f)$ er skaleret med en faktor $1/T$ i forhold til $X(f)$

Impulssampling

Genskabelse af amplitudespektrum



Det ses at amplitudespektrum $X(f)$ kan genskabes ud fra $X_s(f)$ ved lavpasfiltrering.



Impulssampling

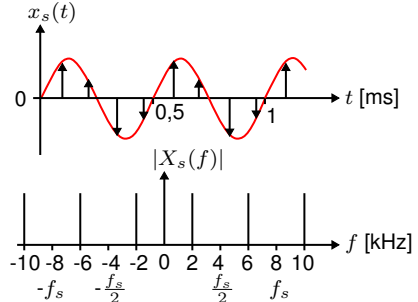
Amplitudespektrum: Eksempel



Betrat signalet

$$x(t) = \sin(2\pi ft)$$

hvor signalets frekvens er $f = 2$ kHz.
Signalet impulssamples med en
samplefrekvens på 8 kHz.



Impulssampling

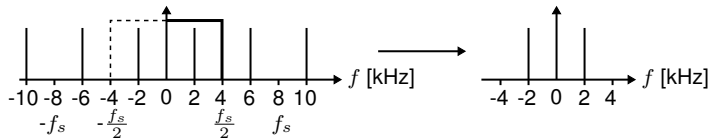
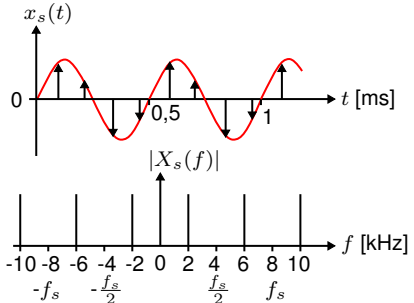
Amplitudespektrum: Eksempel



Betrat signalet

$$x(t) = \sin(2\pi ft)$$

hvor signalets frekvens er $f = 2$ kHz.
Signalet impulssamples med en
samplefrekvens på 8 kHz.



Impulssampling

Gendannelse af båndbreddebegrænset signal



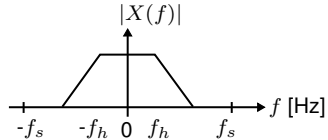
Hvordan skal samplefrekvensen f_s vælges for at det oprindelige spektrum kan genskabes fra det samplede signal?

Impulssampling

Aliasing



Betrægt amplitudespektrum for signalet $x(t)$

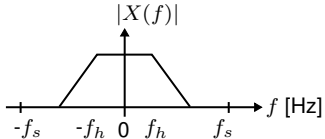


Impulssampling

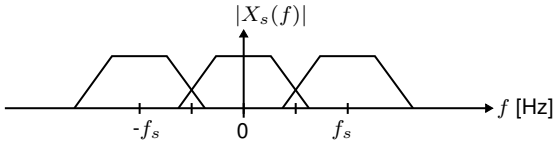
Aliasing



Betragt amplitudespektrum for signalet $x(t)$



Vælges samplefrekvensen for lavt, så overlapper de gentagede spektre, og dermed opstår aliasing.

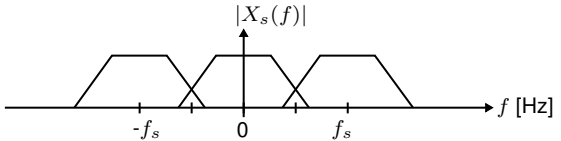


Impulssampling

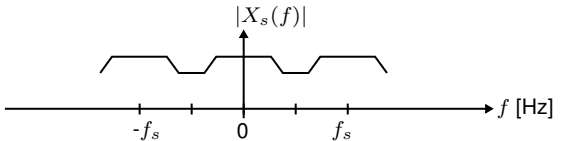
Aliasing



Vælges samplefrekvensen for lavt, så overlapper de gentagede spektre, og dermed opstår aliasing.



Det resulterende amplitudespektrum for $x_s(t)$ bliver som vist herunder. Dette er et aliaseret spektrum.



Delspektret centreret om f_s , der går ned i grundspektret kaldes aliaseringskomposanter eller aliaseringsstøj.

Impulssampling

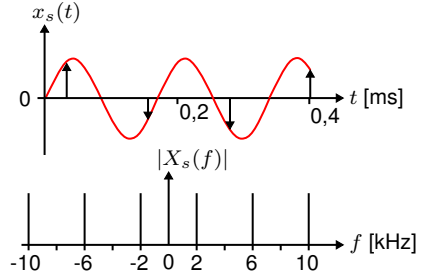
Aliasing: Eksempel



Betrat signalet

$$x(t) = \sin(2\pi ft)$$

hvor signalets frekvens er $f = 6 \text{ kHz}$.
Signalet impulssamples med en
samplefrekvens på 8 kHz .



Impulssampling

Aliasing: Eksempel

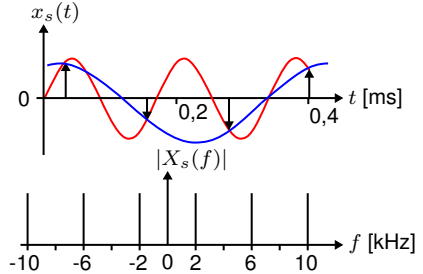


Betrat signalet

$$x(t) = \sin(2\pi ft)$$

hvor signalets frekvens er $f = 6$ kHz.
Signalet impulssamples med en
samplefrekvens på 8 kHz.

Det ses at der kommer en frekvens på 2 kHz
som aliaseringsstøj.





Følgende er et af kursets vigtigste resultater.

Nyquist-Shannon Sætning

Et tidskontinuert signal $x(t)$ kan kun gendannes korrekt ud fra $x_s(t)$, hvis samplefrekvensen er mindst to gange den højeste frekvens i spektrum for $x(t)$.

Pulssampling



Introduktion

Sampling

Impulssampling

Pulssampling

Rekonstruktion

Sekvenser

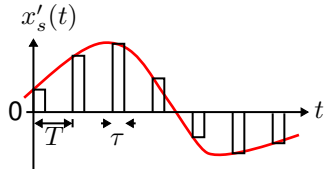
Opsummering

Pulssampling

Princip



Impulssampling kan ikke realiseres i praksis, da pulsbredden vil blive større end nul. Et pulssamplet signal er vis herunder.



Her er T sampleintervallet [s] og τ er pulsbredden [s].

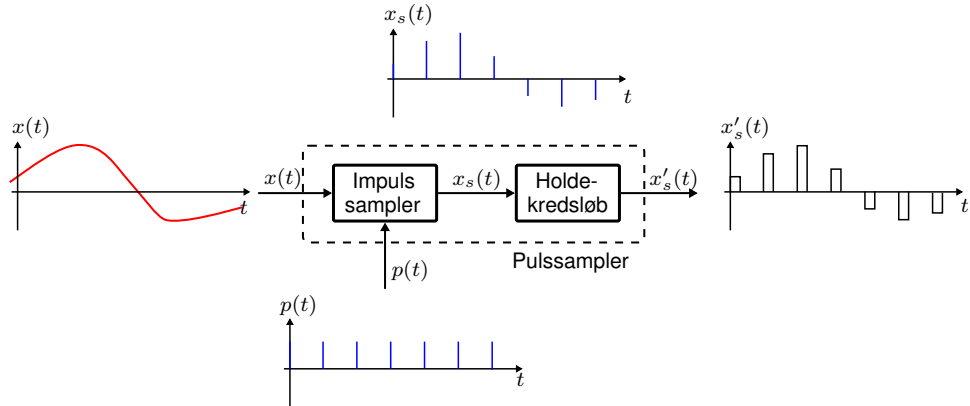
Denne type sampling benyttes fx af sampling oscilloskoper.

Pulssampling

Model af pulssampler



En pulssampler kan modelleres ved brug af en impulssampler og et holdekredsløb.

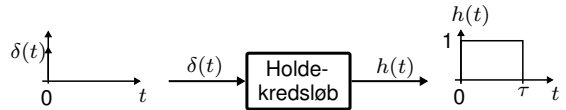


Pulssampling

Holdekredsløb

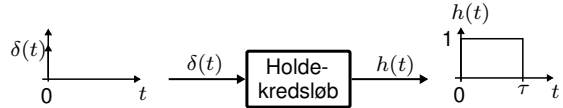


Virkemåden af en pulssampler med pulsbredde τ er vist i følgende diagram.





Virkemåden af en pulssampler med pulsbredde τ er vist i følgende diagram.

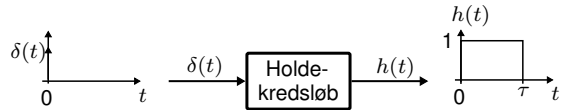


Det vides at spektrumfunktionen for en rektangulærpuls er

$$F(\omega) = \mathcal{F}(f(t)) = \tau \text{sinc}\left(\omega \frac{\tau}{2}\right)$$



Virkemåden af en pulssampler med pulsbredde τ er vist i følgende diagram.



Det vides at spektrumfunktionen for en rektangulærpuls er

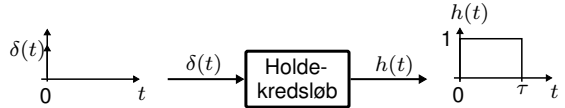
$$F(\omega) = \mathcal{F}(f(t)) = \tau \text{sinc}\left(\omega \frac{\tau}{2}\right)$$

Holdekredsløbets spektrumfunktion bliver dermed

$$H(\omega) = \tau \text{sinc}\left(\omega \frac{\tau}{2}\right) e^{-j\omega \frac{\tau}{2}}$$



Virkemåden af en pulssampler med pulsbredde τ er vist i følgende diagram.



Det vides at spektrumfunktionen for en rektangulærpuls er

$$F(\omega) = \mathcal{F}(f(t)) = \tau \text{sinc}\left(\omega \frac{\tau}{2}\right)$$

Holdekredsløbets spektrumfunktion bliver dermed

$$H(\omega) = \tau \text{sinc}\left(\omega \frac{\tau}{2}\right) e^{-j\omega \frac{\tau}{2}}$$

Dutyfaktoren for det pulssamplede signal er defineret som

$$d = \frac{\tau}{T}$$



Frekvensspektrum for det pulssamplede signal er

$$\begin{aligned} X'_s(f) &= X_s(f)H(f) \\ &= \underbrace{\frac{1}{T} \sum_{m=-\infty}^{\infty} X(f - mf_s)}_{X_s(f)} \underbrace{\tau \text{sinc}\left(\pi d \frac{f}{f_s}\right) e^{-j\pi d \frac{f}{f_s}}}_{H(f)} \end{aligned}$$



Frekvensspektrum for det pulssamplede signal er

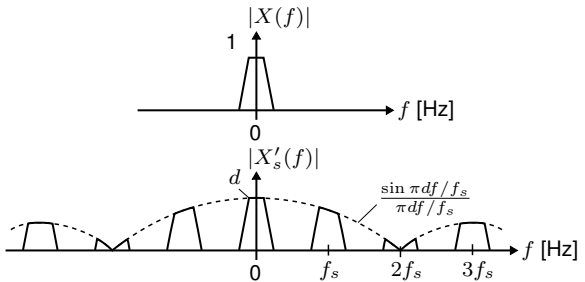
$$\begin{aligned} X'_s(f) &= X_s(f)H(f) \\ &= \underbrace{\frac{1}{T} \sum_{m=-\infty}^{\infty} X(f - mf_s)}_{X_s(f)} \underbrace{\tau \text{sinc}(\pi d \frac{f}{f_s}) e^{-j\pi d \frac{f}{f_s}}}_{H(f)} \end{aligned}$$

Amplitudespektrum bliver dermed

$$|X'_s(f)| = d \left| \text{sinc} \left(\pi d \frac{f}{f_s} \right) \right| \sum_{m=-\infty}^{\infty} X(f - mf_s)$$

Pulssampling

Amplitudespektrum for pulssamplet signal med $d = 0,5$

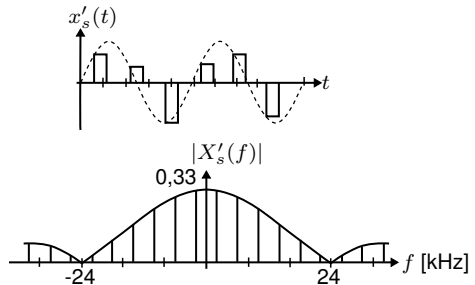


Pulssampling

Eksempel



Følgende viser et 2 kHz sinussignal der er samplet med 8 kHz og dutyfaktor 1/3.





Introduktion

Sampling

Impulssampling

Pulssampling

Rekonstruktion

Sekvenser

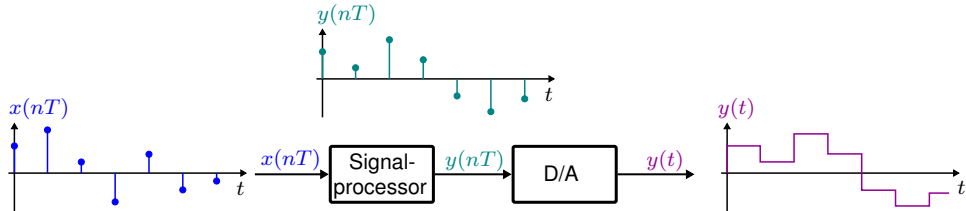
Opsummering

Rekonstruktion

Princip



En digital-analog konverter (D/A konverter) rekonstruerer det analoge signal ud fra den digitale sekvens, og kaldes derfor et **rekonstruktionskredsløb**.

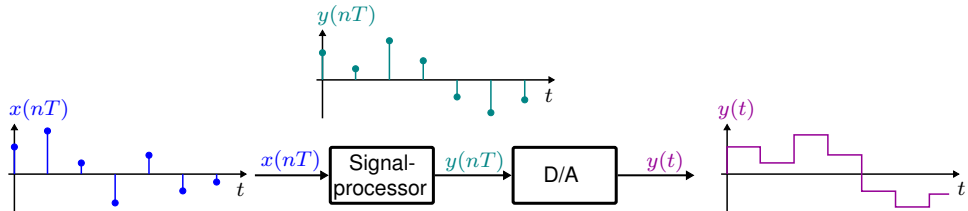


Rekonstruktion

Princip



En digital-analog konverter (D/A konverter) rekonstruerer det analoge signal ud fra den digitale sekvens, og kaldes derfor et **rekonstruktionskredsløb**.



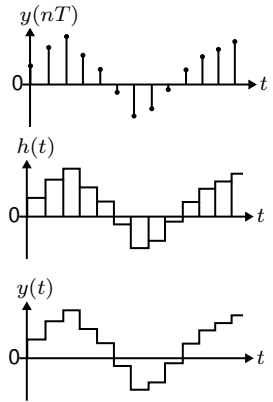
Da D/A konverterens udgangssignal er stykvis konstant med amplitude givet af amplituden for den digitale sekvens er her tale om et **nul'te ordens holdekredsløb**.

Rekonstruktion

Nul'te ordens holdekredsløb: Eksempel 1



Når en digital sekvens D/A konverteres med brug af nul'te ordens holdekredskøb, så får vi følgende opførsel.

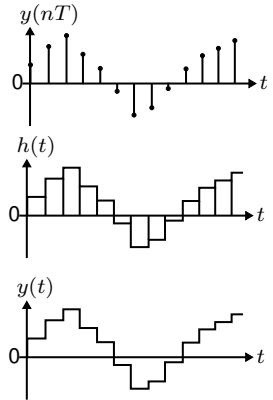


Rekonstruktion

Nul'te ordens holdekredsløb: Eksempel 1



Når en digital sekvens D/A konverteres med brug af nul'te ordens holdekredskøb, så får vi følgende opførsel.



Bemærk at impulsresponset for holdekredsløbet er ligesom for en pulssampler, hvor $\tau = T$ (dutyfaktor på 1).

Rekonstruktion

Amplitudekarakteristik for nul'te ordens holdekredsløb



Fra tidligere vides det at frekvensresponset for et nul'te ordens holdekredsløb med indgangssignal $x(t)$ og udgangssignal $y(t)$ er

$$|Y(f)| = \left| \frac{\sin \pi f / f_s}{\pi f / f_s} \right| \sum_{m=-\infty}^{\infty} X(f - m f_s)$$

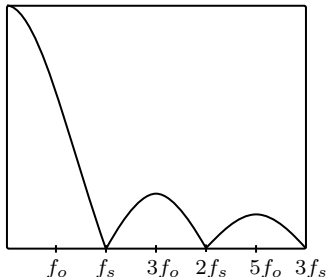
Rekonstruktion

Amplitudekarakteristik for nul'te ordens holdekredsløb



Fra tidligere vides det at frekvensresponset for et nul'te ordens holdekredsløb med indgangssignal $x(t)$ og udgangssignal $y(t)$ er

$$|Y(f)| = \left| \frac{\sin \pi f / f_s}{\pi f / f_s} \right| \sum_{m=-\infty}^{\infty} X(f - m f_s)$$

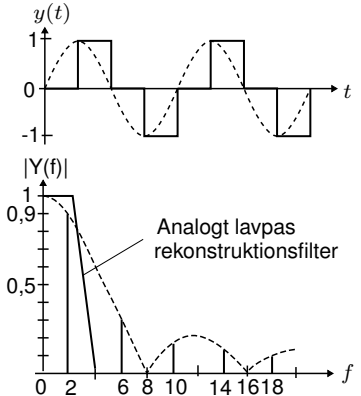


Rekonstruktion

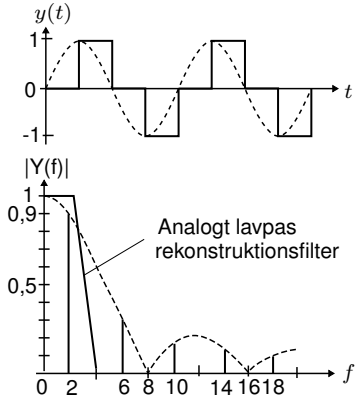
Eksempel



Følgende viser rekonstruktion af et 2 kHz sinussignal samplet ved 8 kHz.



Følgende viser rekonstruktion af et 2 kHz sinussignal samplet ved 8 kHz.



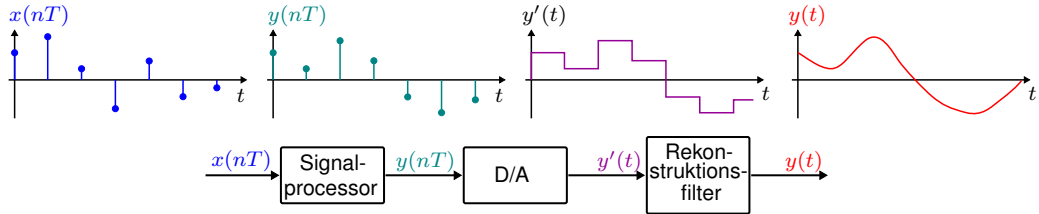
Der indsættes ofte et lavpasfilter efter D/A-konverteren for at dæmpe de højfrekvente komposanter ved $f > f_o$.

Rekonstruktion

Rekonstruktionsfilter



For at fjerne frekvenskomponenter med frekvens over f_o fra udgangssignalet tilføjes et lavpasfilter, som kaldes et rekonstruktionsfilter.

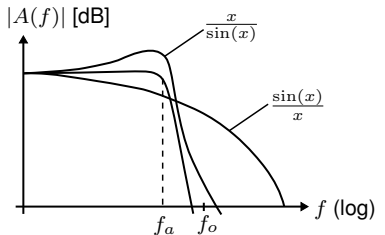


Rekonstruktion

Korrektion af amplituderespons



Da sinc-funktionen multipliceres på signalets amplitudespektrum, kan et rekonstruktionsfilter med den resiprokke amplitudekarakteristik tilføjes.





Introduktion

Sampling

Impulssampling

Pulssampling

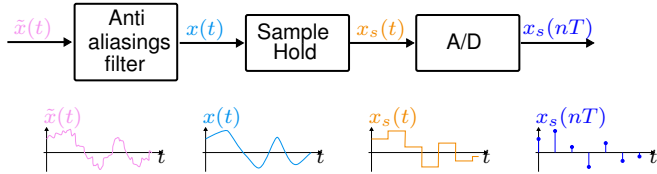
Rekonstruktion

Sekvenser

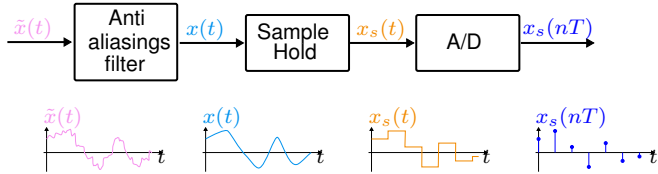
Opsummering



Når analoge signaler skal indlæses på en computer, er det nødvendig at analog-til-digital (AD) konvertere signalet.



Når analoge signaler skal indlæses på en computer, er det nødvendig at analog-til-digital (AD) konvertere signalet.



Det digitale signal kaldes en sekvens, og representeres ved et endeligt antal bits, hvilket introducerer en kvantiseringsfejl.



I dette kursus betragtes **kausale sekvenser**, dvs.

$$x(nT) = 0 \quad \text{for } n < 0$$

hvor T er sampleintervallet og n er samplenummeret.



I dette kursus betragtes **kausale sekvenser**, dvs.

$$x(nT) = 0 \quad \text{for } n < 0$$

hvor T er sampleintervallet og n er samplenummeret.

Sekvenser kan udtrykkes som funktioner af samplenummeret n som vist her

$$x(n) = \sum_{k=0}^{\infty} x(kT) \delta(kT - nT)$$



Enhedssampelen

Enhedssampelen $\delta(n)$ (digital impuls) er defineret som

$$\delta(n) = \begin{cases} 1 & \text{for } n = 0 \\ 0 & \text{for } n \neq 0 \end{cases}$$



Enhedssampelen

Enhedssampelen $\delta(n)$ (digital impuls) er defineret som

$$\delta(n) = \begin{cases} 1 & \text{for } n = 0 \\ 0 & \text{for } n \neq 0 \end{cases}$$

Enhedsspringsampelen

Enhedsspringsampelen $u(n)$ er defineret som

$$u(n) = \begin{cases} 1 & \text{for } n \neq 0 \\ 0 & \text{for } n < 0 \end{cases}$$



Enhedssampelen

Enhedssampelen $\delta(n)$ (digital impuls) er defineret som

$$\delta(n) = \begin{cases} 1 & \text{for } n = 0 \\ 0 & \text{for } n \neq 0 \end{cases}$$

Enhedsspringsampelen

Enhedsspringsampelen $u(n)$ er defineret som

$$u(n) = \begin{cases} 1 & \text{for } n \neq 0 \\ 0 & \text{for } n < 0 \end{cases}$$

Ved brug af enhedssampelen $\delta(n)$ kan sekvensen $x(n)$ udtrykkes som

$$x(n) = \sum_{k=0}^{\infty} x(k)\delta(n - k)$$



Spektrum for det impulssamplede signal x_s kan findes ved Laplacetransformation af

$$x_s(t) = \sum_{n=0}^{\infty} x(nT)\delta(t - nT)$$



Spektrum for det impulssamplede signal x_s kan findes ved Laplacetransformation af

$$x_s(t) = \sum_{n=0}^{\infty} x(nT)\delta(t - nT)$$

Fra definitionen af Laplacetransformation fås

$$\begin{aligned} X_s(s) &= \mathcal{L} \left(\sum_{n=0}^{\infty} x(nT)\delta(t - nT) \right) \\ &= \int_{t=0}^{\infty} \sum_{n=0}^{\infty} x(nT)\delta(t - nT)e^{-st}dt \\ &= \sum_{n=0}^{\infty} \int_{t=0}^{\infty} x(nT)\delta(t - nT)e^{-st}dt \\ &= \sum_{n=0}^{\infty} x(nT)e^{-snT} \end{aligned}$$



Som eksempel betragtes sekvensen

$$x(nT) = e^{-anT}, \quad a > 0$$

Sekvenser

Laplacetransformeret sekvens: Eksempel (I)



Som eksempel betragtes sekvensen

$$x(nT) = e^{-anT}, \quad a > 0$$

Fra foregående slide vides det at

$$X_s(s) = \sum_{n=0}^{\infty} x(nT)e^{-snT}$$



Som eksempel betragtes sekvensen

$$x(nT) = e^{-anT}, \quad a > 0$$

Dette medfører at

$$\begin{aligned} X_s(s) &= \sum_{n=0}^{\infty} e^{-anT} e^{-snT} \\ &= \sum_{n=0}^{\infty} e^{-(s+a)nT} \end{aligned}$$

Fra foregående slide vides det at

$$X_s(s) = \sum_{n=0}^{\infty} x(nT) e^{-snT}$$



Som eksempel betragtes sekvensen

$$x(nT) = e^{-anT}, \quad a > 0$$

Dette medfører at

$$\begin{aligned} X_s(s) &= \sum_{n=0}^{\infty} e^{-anT} e^{-snT} \\ &= \sum_{n=0}^{\infty} e^{-(s+a)nT} \end{aligned}$$

Fra foregående slide vides det at

$$X_s(s) = \sum_{n=0}^{\infty} x(nT) e^{-snT}$$

For $|x| < 1$ haves den uendelige kvotientrække

$$y_{\infty} = \sum_{i=0}^{\infty} x^i = \frac{1}{1-x}$$



Som eksempel betragtes sekvensen

$$x(nT) = e^{-anT}, \quad a > 0$$

Dette medfører at

$$\begin{aligned} X_s(s) &= \sum_{n=0}^{\infty} e^{-anT} e^{-snT} \\ &= \sum_{n=0}^{\infty} e^{-(s+a)nT} \end{aligned}$$

Udtrykket for $X_s(s)$ kan således skrives

$$X_s(s) = \frac{1}{1 - e^{-(s+a)T}}$$

Fra foregående slide vides det at

$$X_s(s) = \sum_{n=0}^{\infty} x(nT) e^{-snT}$$

For $|x| < 1$ haves den uendelige kvotientrække

$$y_{\infty} = \sum_{i=0}^{\infty} x^i = \frac{1}{1-x}$$



Overføringsfunktionen

$$X_s(s) = \frac{1}{1 - e^{-(s+a)T}}$$

har polerne

$$s = -a \pm jm\frac{2\pi}{T} = -a \pm jm2\pi f_s$$

hvor m er et heltal.



Overføringsfunktionen

$$X_s(s) = \frac{1}{1 - e^{-(s+a)T}}$$

har polerne

$$s = -a \pm jm\frac{2\pi}{T} = -a \pm jm2\pi f_s$$

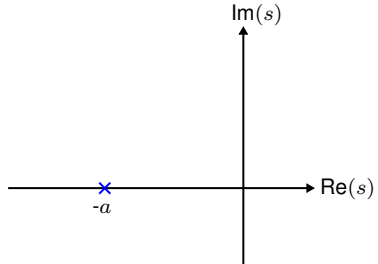
hvor m er et heltal. Det vides at den Laplace transformerede af $x(t) = e^{-at}$ er

$$X(s) = \frac{1}{s + a}$$

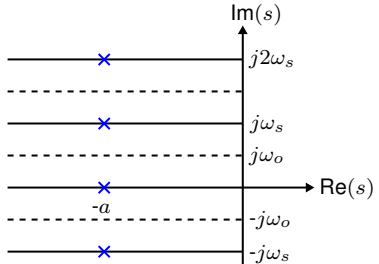
Dette er en overføringsfunktion med en pol i $s = -a$.



Den Laplacetransformerede af $x(t) = e^{-at}$ har en pol i $s = -a$.



Den Laplacetransformerede af sekvensen $x(nT) = e^{-anT}$ har poler $s = -a \pm jn\omega_s$.



Konklusion: Ved sampling gentages pol-nulpunktsdiagrammet langs imaginær-aksen periodisk med samplefrekvensen.

Opsummering



Introduktion

Sampling

Impulssampling

Pulssampling

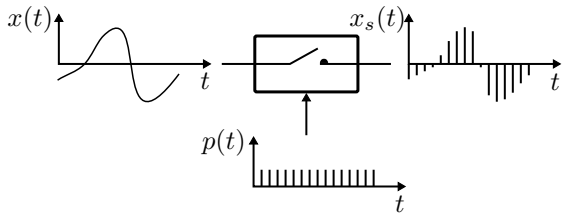
Rekonstruktion

Sekvenser

Opsummering



Indgangssignalet til sampleren er det tidskontinuerte signal $x(t)$, mens samplerens udgangssignal $x_s(t)$ er tidsdiskret (et periodisk pulstog). Vi betragter impulssampling og pulssampling.

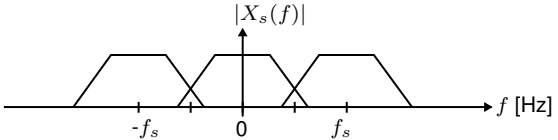


Sampleren karakteriseres ved dens **sampleinterval** T (tid imellem samples) eller **samplefrekvensen** givet som

$$f_s = \frac{1}{T} \quad [\text{Hz}]$$



Vælges samplefrekvensen for lavt, så overlapper de gentagede spektre, og dermed opstår aliasing.



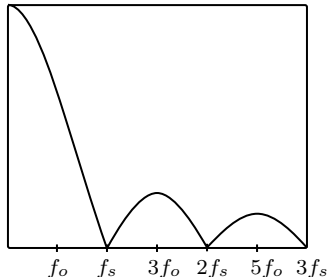
Nyquist-Shannon Sætning

Et tidskontinuert signal $x(t)$ kan kun gendannes korrekt ud fra $x_s(t)$, hvis samplefrekvensen er mindst to gange den højeste frekvens i spektrum for $x(t)$.



Ved rekonstruktion benyttes et nul'te ordens holdekredsløb, hvilket tilføjer en sinc-funktion til spektret for indgangssignal $x(t)$.

$$|Y(f)| = \left| \frac{\sin \pi f / f_s}{\pi f / f_s} \right| \sum_{m=-\infty}^{\infty} X(f - m f_s)$$

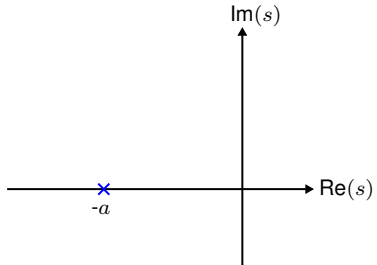


Opsummering

Sekvenser



Den Laplacetransformerede af $x(t) = e^{-at}$ har en pol i $s = -a$.



Den Laplacetransformerede af sekvensen $x(nT) = e^{-anT}$ har poler $s = -a \pm jn\omega_s$.

